



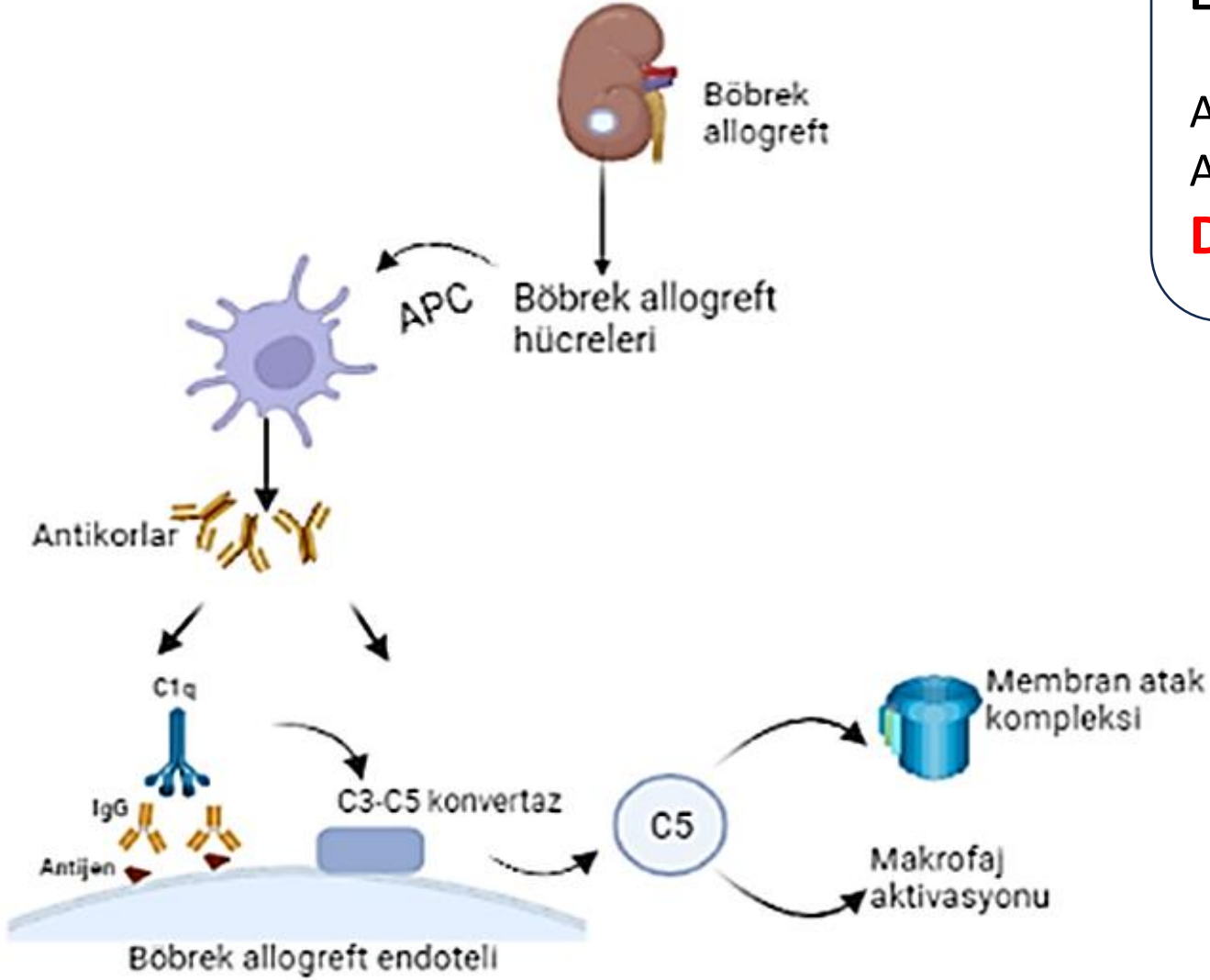
# HK-2 Hücrelerinde Anti-HLA Antikorlarının mRNA ve miRNA Ekspresyonu Üzerindeki Etkisi

**Ash ELDEM<sup>1</sup>, Tülay Kılıçaslan AYNA<sup>1</sup>, Melek PEHLİVAN<sup>2</sup>, Mustafa SOYÖZ<sup>1</sup>, Cem TUĞMEN<sup>3</sup>, İbrahim PİRİM<sup>1</sup>**

<sup>1</sup>İzmir Katip Çelebi Üniversitesi, Tıp Fakültesi, Tıbbi Biyoloji ve Genetik A.D., İzmir, Türkiye

<sup>2</sup>İzmir Katip Çelebi Üniversitesi, Sağlık Hizmetleri Meslek Yüksekokulu, İzmir, Türkiye

<sup>3</sup>İzmir Bakırçay Üniversitesi, Cerrahi Tıp Bilimleri, Genel Cerrahi A.D., İzmir, Türkiye



## Böbrek Nakli Başarısını Etkileyen Temel Faktörler

Alıcı-donör HLA uyumluluğu  
ABO kan grubu

**Donöre özgü antikorlar**

### mRNA:

TGF- $\beta$   
C1qA  
C1qB  
C1qC  
TNF- $\alpha$   
Kaspaz-3

### miRNA:

let-7c-5p  
miR-21  
miR-28-3p  
miR-29b-3p  
miR-125a-5p  
miR-142-5p  
miR-145  
miR-155  
miR-217  
miR-520e  
miR-885

## YÖNTEM

HK-2 hücresi

HLA-A	HLA-B	HLA-C	HLA-DRB1	HLA-DQB1
<b>02:01</b>	13:02	02:02	01:01	05:01
30:01	44:05	06:02	16:01	05:02

**Hasta X PRA: anti-HLA A2**

Report Parameters

Method Type: Standard Calculation

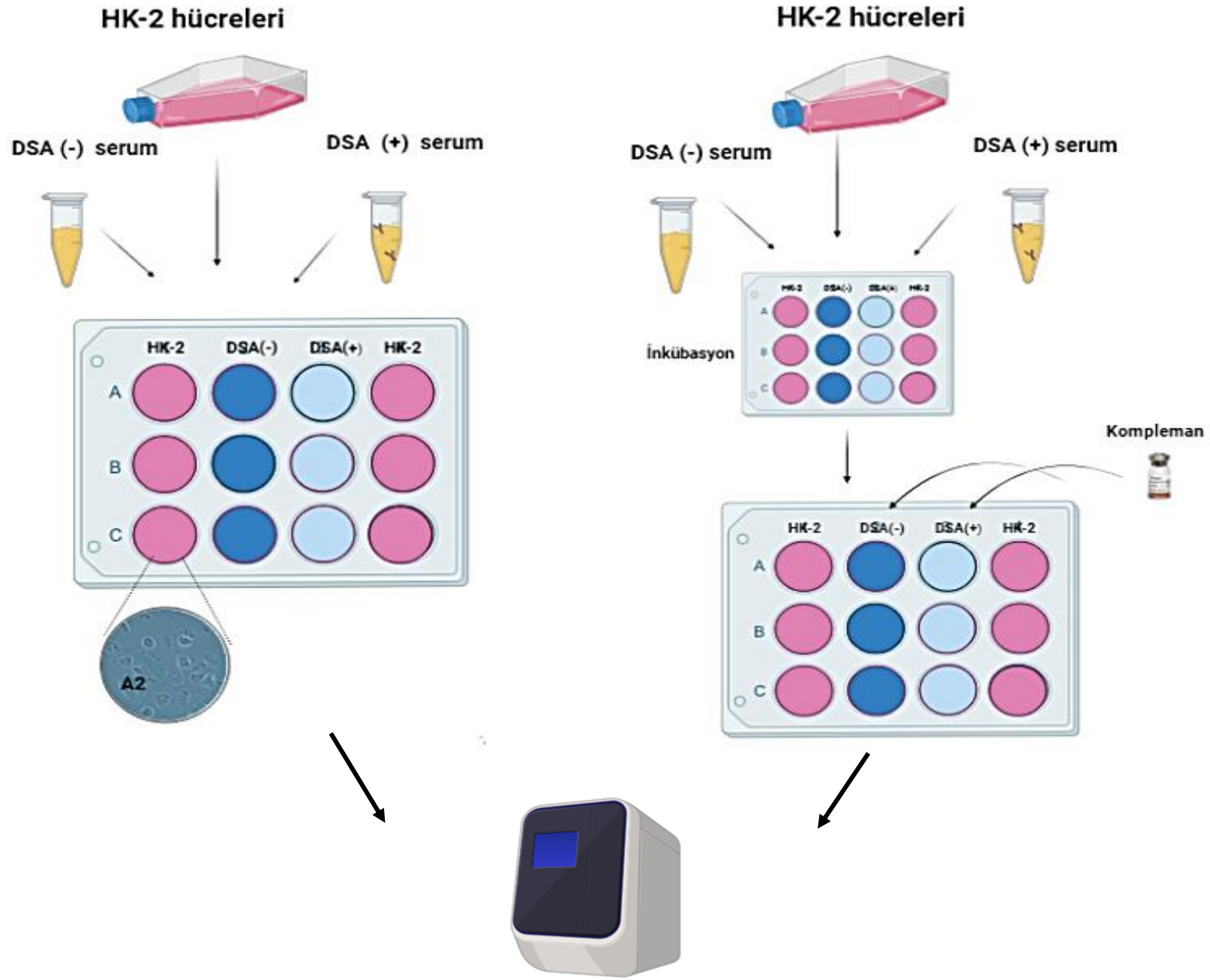
Positive MFI:	CON 1 MFI:	CON 2 MFI:	CON 3 MFI:	Cal CON MFI:	Adjust Value Cutoff Value:	Assignment Cutoff:
21967	126	243	96	295	0.0	2

Tail Type:	Tail Sort By:	R-Value Cutoff:	% Positive Cutoff:
MANUAL	R-Value	0.00	50

Tail Antigens

Specificity	TP(++)	FP(+)	FN(-)	TN(-)	N	Chi <sup>2</sup>	R-Value	% Positive	Strength
A2	7	39	0	4	50	0.71	0.12	100	15525
A68	6	33	0	4	43	0.72	0.15	100	19297
B35	5	28	0	4	37	0.70	0.14	100	11557
A69	1	27	0	4	32	0.15	0.07	100	14012
A33	5	22	0	4	31	0.88	0.17	100	8707
A29	1	21	0	4	26	0.19	0.09	100	16331
B72	1	20	0	4	25	0.20	0.09	100	4218
B58	3	17	0	4	24	0.69	0.17	100	8249
B45	2	15	0	4	21	0.52	0.16	100	8926
A24	5	10	0	4	19	1.81	0.31	100	8106

# YÖNTEM



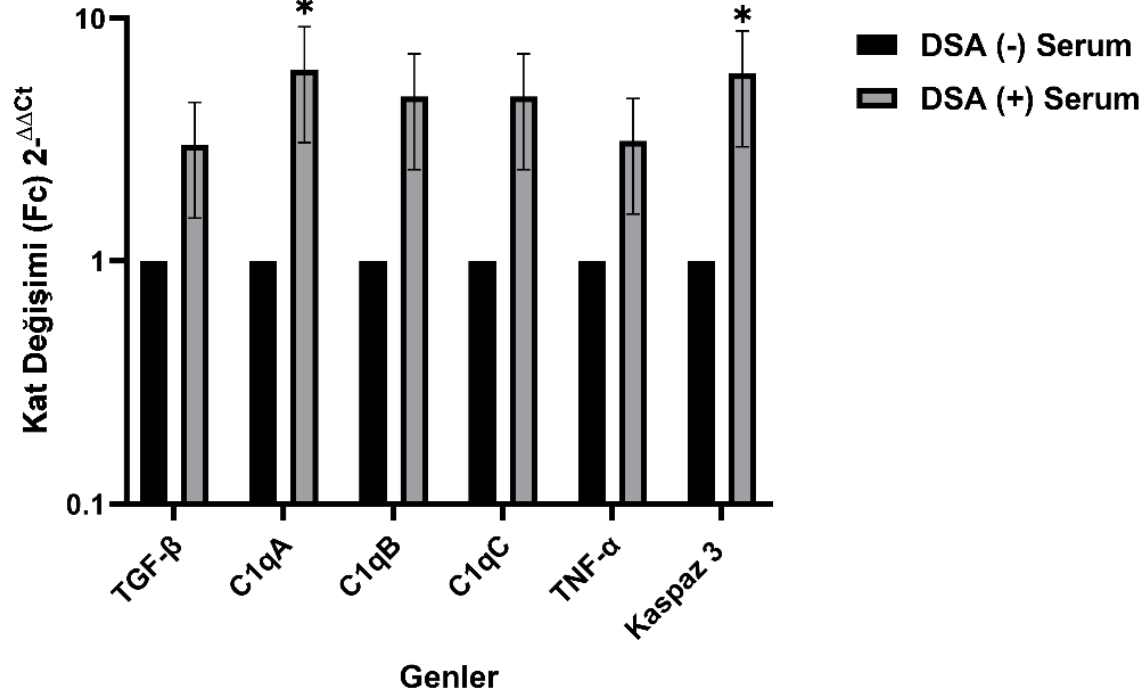
## miRNA biomarkers in renal disease

Beata Franczyk <sup>1</sup>, Anna Gluba-Brzózka <sup>2</sup>, Robert Olszewski <sup>3,4</sup>, Magdalena Parolczyk <sup>1</sup>,  
Magdalena Rysz-Górzyńska <sup>5</sup>, Jacek Rysz <sup>1</sup>

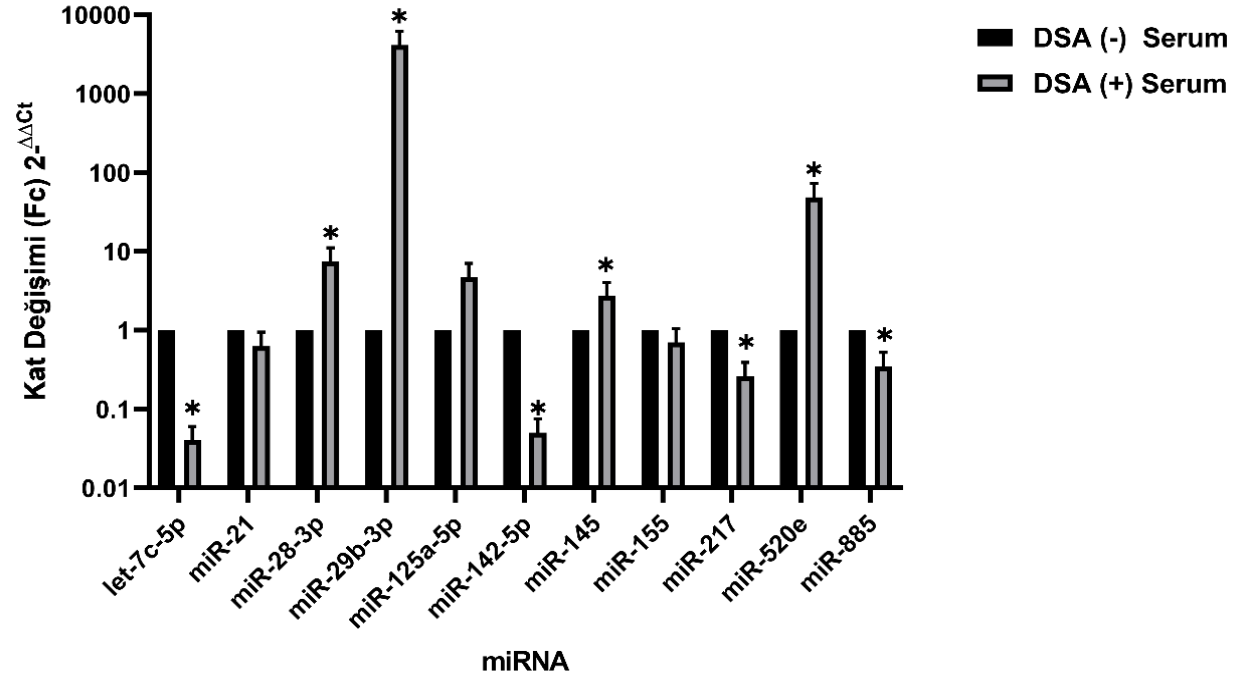
Affiliations + expand

PMID: 34228259 PMCID: PMC8831254 DOI: 10.1007/s11255-021-02922-7

Kat Değişim Grafiği



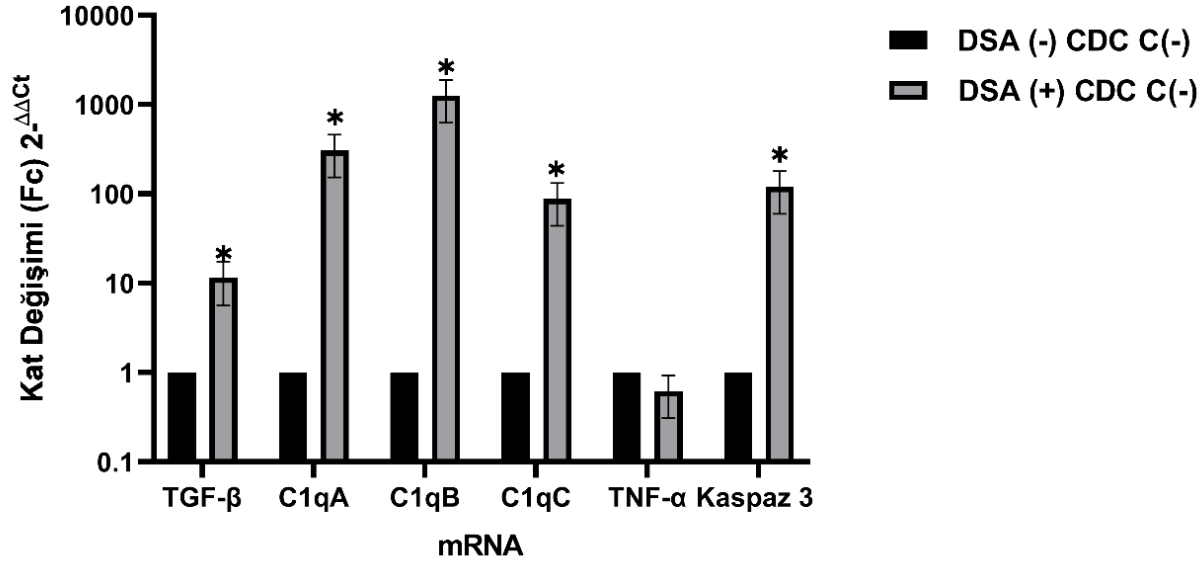
Kat Değişim Grafiği



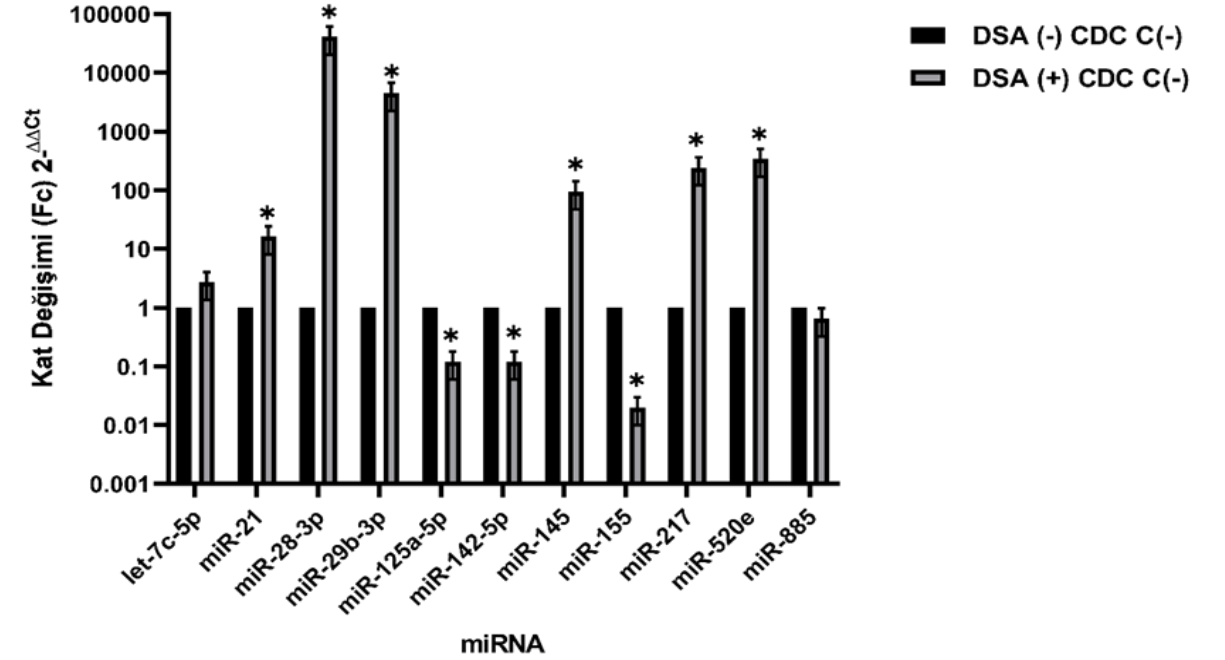
(Grafik Log 10 olarak gösterilmiştir.) \*p<0,05

## BULGULAR

### Kat Değişim Grafiği

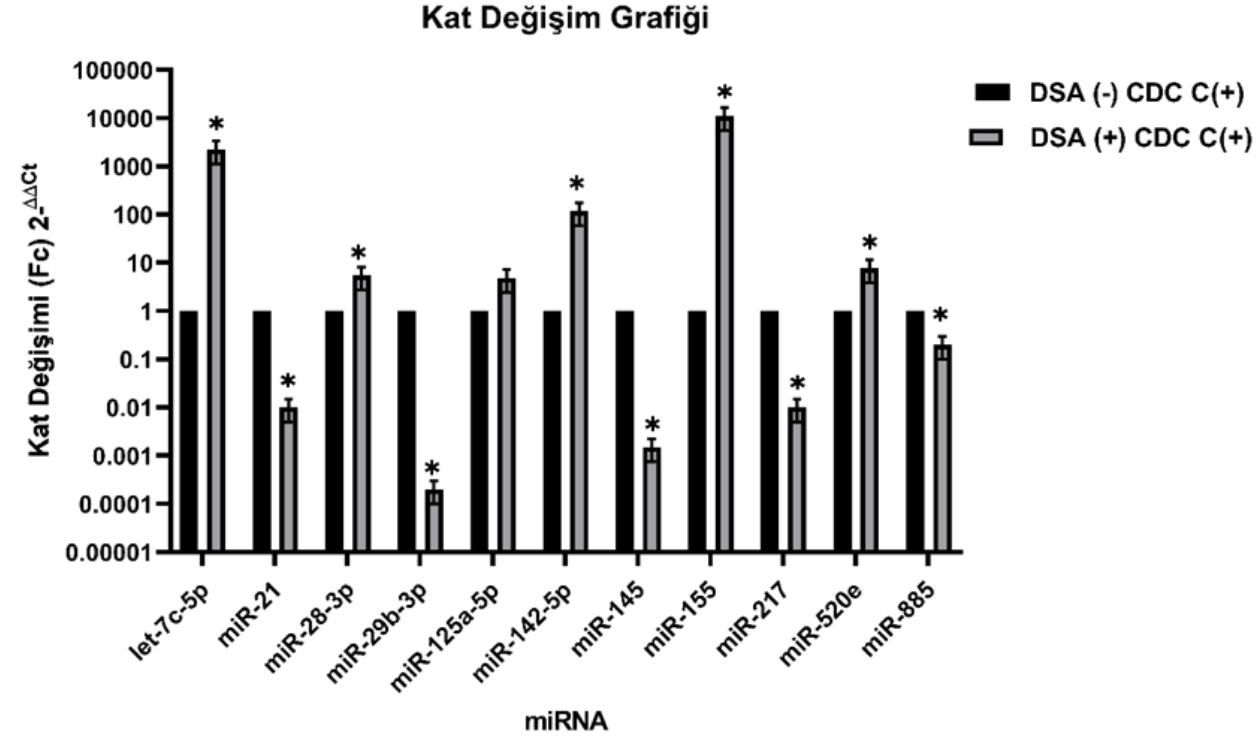
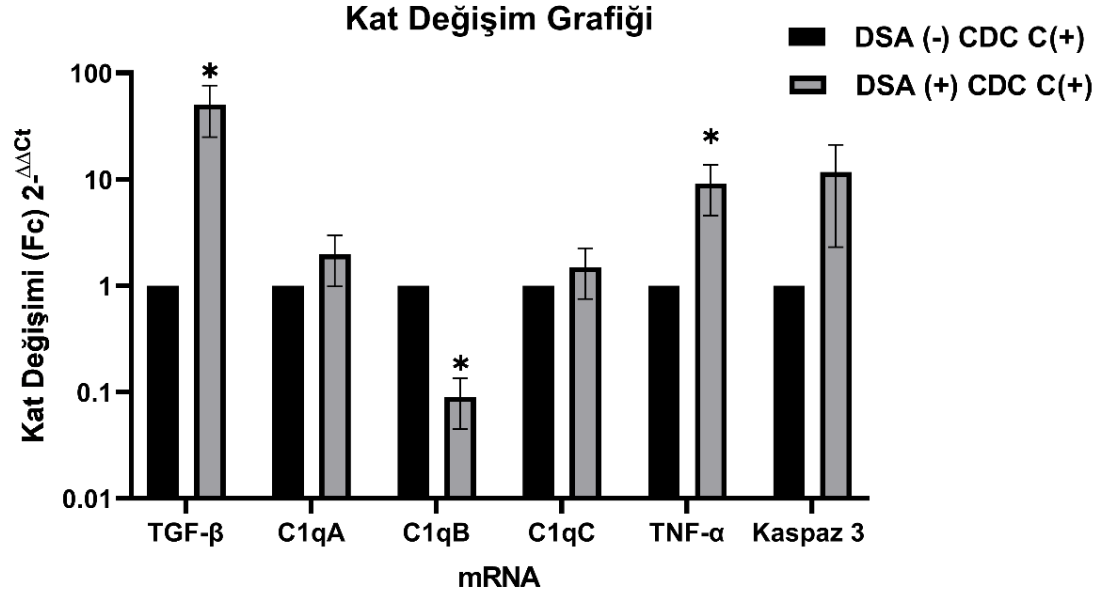


### Kat Değişim Grafiği



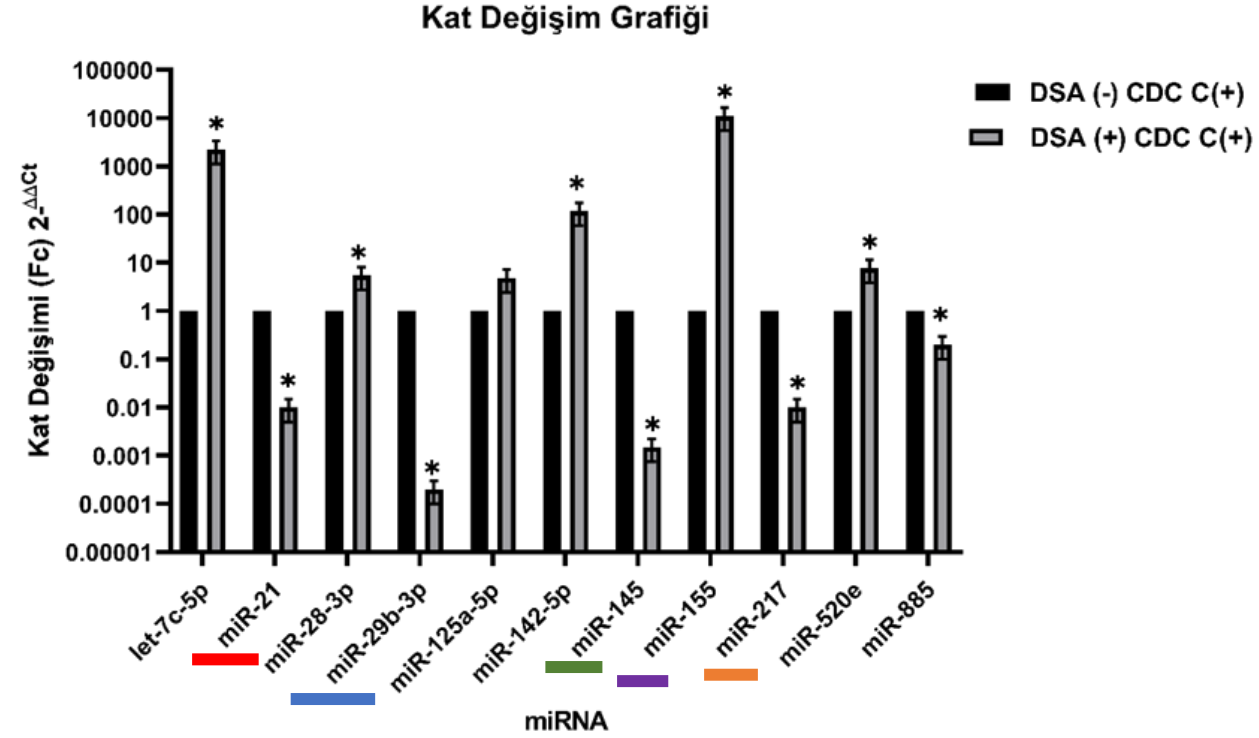
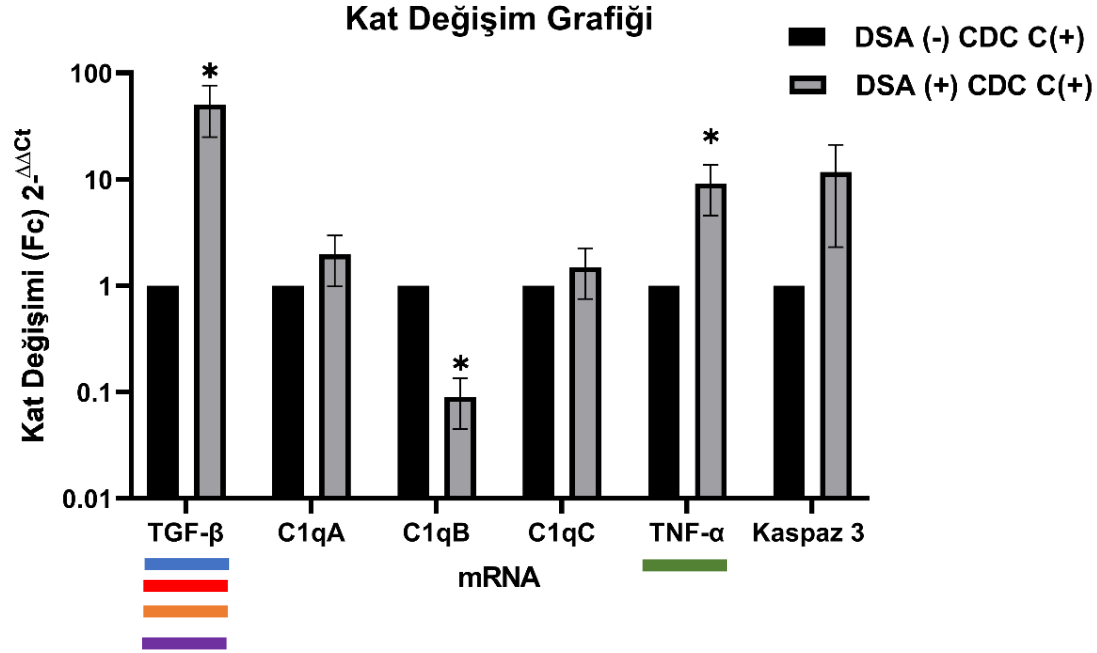
CDC C (-): Komplemansız CDC (Grafik Log 10 olarak gösterilmiştir.) \*p<0,05

## BULGULAR

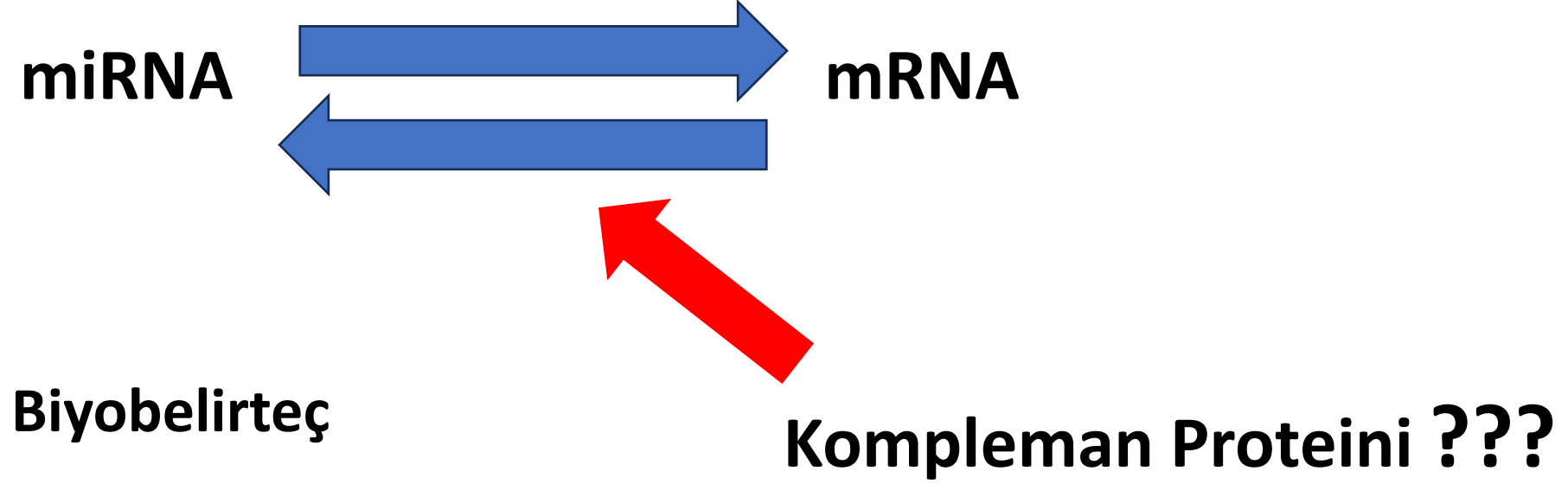


CDC C (+): Komplemanlı CDC (Grafik Log 10 olarak gösterilmiştir.) \* $p < 0,05$

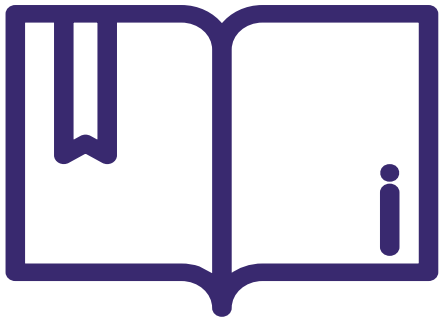




## SONUÇ VE ÖNERİLER



In vitro AAR modeli



- Heinemann, F. M., Jindra, P. T., Bockmeyer, C. L., Zeuschner, P., Wittig, J., Höflich, H., ... & Becker, J. U. Glomerulocapillary miRNA response to HLA-class I antibody in vitro and in vivo. *Scientific reports*, 2017; 7(1), 14554. DOI:10.1038/s41598-017-14674-5
- Thurman, J. M., Panzer, S. E., & Le Quintrec, M. The role of complement in antibody mediated transplant rejection. *Molecular immunology*, 2019; 112, 240-246. doi.org/10.1016/j.molimm.2019.06.002
- Boštjančič, E., Večerić-Haler, Ž., & Kojc, N. The Role of Immune-Related miRNAs in the Pathology of Kidney Transplantation. *Biomolecules*, 2021; 11(8), 1198. doi.org/10.3390/biom11081198

# Dinlediđiniz iin TeŖekkür Ederim

